

Sears, Erin L., Ronald L. Bishop y M. James Blackman

2005 Figurillas de Cancuen, Petén: El surgimiento de una perspectiva regional. En *XVIII Simposio de Investigaciones Arqueológicas en Guatemala, 2004* (editado por J.P. Laporte, B. Arroyo y H. Mejía), pp.745-752. Museo Nacional de Arqueología y Etnología, Guatemala.

72

FIGURILLAS DE CANCUEN, PETÉN: EL SURGIMIENTO DE UNA PERSPECTIVA REGIONAL

*Erin L. Sears
Ronald L. Bishop
M. James Blackman*

Palabras clave:

Arqueología Maya, Guatemala, Petén, Cancuen, Salinas de los Nueve Cerros, figurillas, análisis químicos

Esta publicación intenta responder algunas de las preguntas previamente presentadas con respecto a los estudios químicos y estilísticos de las figurillas que forman parte de la colección de Cancuen. Las figurillas de Cancuen presentan una construcción y tecnología similar a los modelos de figurillas encontrados a lo largo de los ríos Usumacinta y Pasión. Las figurillas de Cancuen fueron realizadas de dos formas (Sears 2001):

- La primera corresponde a las figurillas pequeñas con relieve poco profundo y fabricadas con molde, las cuales son características de los sitios localizados a lo largo de la orilla de los ríos Pasión/Usumacinta.
- El segundo tipo es de figurillas que se sostienen con sus pies a manera de muñeca y cuyas partes fueron realizadas con molde y modeladas a mano. En Jaina se pueden encontrar ejemplos de este tipo, así como también se han observado figurillas fabricadas con técnicas similares en Salinas de los Nuevos Cerros.

Además, a través de un examen visual, parece que tanto las figurillas de Cancuen como las figurillas de Salinas de los Nueve Cerros tienen nódulos de hierro grandes dentro de la pasta. No había sido posible determinar si los patrones de composición de las figurillas reflejaban similitudes entre los dos sitios, o si reflejaban una influencia nortea de intercambio de figurillas. Ahora, después de tres años de análisis de laboratorio y después de haber finalizado el programa de excavación en las áreas residenciales que rodean el palacio de Cancuen, ha sido muy interesante evaluar una colección más amplia de figurillas, así como el haber podido encontrar un patrón más complejo de configuración química.

METODOLOGÍA

La cerámica y las figurillas de Cancuen presentan una matriz de información sumamente complicada como resultado de las diferentes y variadas inclusiones no-plásticas, como las de tipo volcánico o de carbonato. El tamaño de estas últimas pueden ser de partículas finas a muy burdas. La arcilla de la zona inmediata a Cancuen pudo haber tenido diferentes cantidades o diferentes variedades de materiales de desgrasante, los cuales se agregaban a la arcilla disponible en forma regional. Mientras que la adición de desgrasantes de derivados volcánicos pudo enriquecer algunas de las concentraciones de elementos a expensas de otros, la adición de carbón pulverizado tiende a reducir proporcionalmente la concentración de la mayoría de elementos en la pasta cerámica.

Por esta razón, las estadísticas de la matriz de información, que tratan de diferenciar la producción de los diferentes talleres, sólo se enfocarán en la magnitud absoluta de la composición de elementos. Una perspectiva más regional permitiría encontrar la relación proporcional entre elementos y buscaría una relación mejor en términos de los recursos generales usados. Para reducir parte de la variación presente en la cerámica de Cancuen, la cerámica Gris Fina del grupo Chablekal y la cerámica Naranja Fina no serán consideradas en este estudio, porque se sabe perfectamente que fueron importadas a Cancuen (Sears y Bishop 2002).

La comparación entre las muestras de Cancuen con las más de 18,000 muestras de la base de datos de composiciones cerámicas Mayas, ha revelado que la constitución de algunos de los ejemplos de Cancuen es similar a la cerámica analizada de Salinas de los Nueve Cerros en Alta Verapaz. El análisis químico de las muestras de este último sitio se llevó a cabo como parte del Proyecto de Cerámica Maya en 1980, el cual se enfocó en la producción e intercambio en las Tierras Bajas Mayas. La información de la cerámica de Salinas de los Nueve Cerros no fue utilizada hasta que se observaron las similitudes de composición entre las muestras de Salinas de los Nueve Cerros y Cancuen. Dado que la composición indicaba una "igualdad" entre las figurillas de Cancuen y la cerámica de Nueve Cerros, se dio inicio a un estudio de las figurillas de Salinas de los Nueve Cerros y tomó ejemplos para INAA de figurillas que posiblemente tenían nexos estilísticos con las figurillas de Cancuen. La información de estas muestras se incorporó a la matriz de datos de Cancuen.

El análisis de la información de las figurillas y la cerámica de Cancuen se ha llevado a cabo con dos puntos de vista complementarios. Un análisis de grupo o *Cluster Analysis* se llevó a cabo con el registro de concentraciones de 13 elementos (Tabla 1), muchos de los cuales fueron determinados con una alta precisión analítica (Bishop y Blackman 2002). Algunos elementos fueron removidos por falta de datos usualmente con la cerámica con carbonatos, que presenta límites muy bajos de detección en los procedimientos rutinarios. A partir de una matriz de distancias Euclidianas de muestra a muestra, se llevó a cabo un análisis *Cluster de Wards*, que involucra un ajuste para las co-varianzas entre los elementos. Se ha encontrado frecuentemente que este método tiene "mejores resultados" con la información de la composición de la cerámica Maya que con otras formas más comunes para establecer nexos. El resultado es varios grupos múltiples "de prueba", con la cerámica con carbonato agrupada en grupos separados de las que no contienen carbonatos.

Marcada de acuerdo a su grupo de prueba, la información de la composición fue presentada al análisis factorial de modo-Q como un problema de "mezcla", donde dos o más materiales diferentes son combinados para producir un rango de cerámica acabada. Un sistema simple de dos componentes puede consistir de arcillas y desgrasantes, cada uno representando el 100 por ciento de un "miembro final". El perfil de la composición de una cerámica acabada sería la mezcla proporcional de los dos miembros finales. Los carbonatos, como la piedra caliza molida, y los derivados de arena volcánica son definitivamente dos desgrasantes muy diferentes, que afectan el perfil de la composición final de varias maneras (por ejemplo, enriquecen a algunos de los elementos mientras diluyen a los otros). Por esta razón, el "sistema" simple de Cancuen, incluiría las arcillas básicas y dos componentes de desgrasante. Una complejidad adicional aparece por el hecho de que existe un número desconocido de grupos "naturales" de cerámica. Esto ocurre porque las arcillas y los desgrasantes vienen de diferentes fuentes, presentando, por lo tanto, un número variado de miembros finales, que a su vez son expresados como combinaciones lineales.

El modo-Q de análisis (Jóreskog *et al.* 1976), llevado a cabo en la cerámica y figurillas de Cancuen y de Salinas de los Nueve Cerros, determina la co-varianza de los elementos y expresa la asociación entre las muestras como una mezcla proporcional de los miembros finales calculados (Tabla 1). Para poder ver de una manera más simple la estructura total de la información, se extrajeron tres miembros finales (Factores-Q), los cuales se rotaron a varias posiciones *varimax*, presentando así la estructura de la muestra por una gráfica ternaria (Figura 1).

INAA

Los esfuerzos anteriores que trataron de determinar el modelo elemental de las figurillas de Cancuen nunca definieron el problema de la extensión geográfica de la producción local de estas figurillas *versus* la importación de las mismas. Para poder explorar de forma más profunda los patrones de composición, se tomaron muestras de pasta de las figurillas de la región de Cancuen, incluyendo otros sitios como Raxruha Viejo, El Guaraní y La Caoba, así como de áreas más lejanas como Salinas de los Nueve Cerros y el palacio de la Señora de Cancuen en Dos Pilas.

En el análisis previo (Figura 1), las muestras de las figurillas fueron separadas en diferentes grupos. La composición de algunas de las figurillas co-varían con el material cerámico de Cancuen, tal como se indica al lado derecho de la gráfica del análisis factorial de modo-Q. Las otras muestras que aparecen en la esquina inferior izquierda de la gráfica delimitan un grupo separado de figurillas (Grupo 1), que parecen tener una pasta naranja rojiza o café clara. Las muestras del Grupo 1 se separan de los otros puntos porque reflejan, en cierto modo, un alto nivel de hierro y cromo. Las muestras de figurillas de pasta de color naranja rojizo fueron recobradas en Cancuen, pero no se comparan con ninguna de las composiciones químicas de los grupos asignados como pertenecientes al grupo de cerámica de Cancuen (Sears y Bishop 2002). Se especuló que este grupo de pasta es posiblemente originario de Salinas de los Nueve Cerros o de otra región cercana a Cancuen, como la de Raxruha Viejo o La Caoba.

A partir del nuevo análisis (Figura 2), la información en la gráfica ternaria comenzó a tomar un carácter más geográfico. En la mitad derecha de la gráfica ternaria se representa el grupo de composición local de Cancuen que incluye las muestras de figurillas y cerámica. La esquina superior izquierda del plan, donde se reconoció anteriormente el Grupo 1, se ha convertido en los Grupos 18 y 19. Estos grupos todavía incluyen las figurillas naranja rojizas, pero ahora incorporan cerámica con engobe negro también encontrada en Cancuen. Los Grupos 18 y 19 también contienen ejemplos que fueron recobrados por Karen Pereira, Lucía Morán, Brent Woodfill y su equipo de cuevistas en lugares como Raxruha Viejo y el Sistema de Cuevas Candelaria. Preliminarmente, parece sumamente probable que las figurillas naranja rojizo sean originarias de la región de Raxruha Viejo. Se espera que con las muestras que Arik Ohnstad extraerá en sus excavaciones en Raxruha Viejo y sus alrededores, se pueda delimitar a estos grupos de mejor manera.

La parte superior central de la gráfica ternaria revela la composición de Salinas de los Nueve Cerros. Este grupo incorpora muestras de cerámica y figurillas recobradas de las excavaciones realizadas por Brian Dillon, así como figurillas recobradas en excavaciones en áreas residenciales de Cancuen. Además de las otras diferencias entre elementos, estas muestras de figurillas tienen una mayor concentración de sodio que el resto de las composiciones y tienen una pasta anaranjada/ante clara. La alta concentración de sodio no sorprende, ya que esta zona se caracteriza por tener yacimientos de sal, algo que Brian Dillon consideró importante para Salinas de los Nueve Cerros, ya que utilizó este recurso para comerciar con otros sitios de las Tierras Altas y Bajas (Dillon 1977).

INTERPRETACIONES

Ahora que el universo general de pequeños puntos en el espacio estadístico tiene implicaciones regionales e interregionales, se discutirán los beneficios interpretativos de estos análisis.

El primer ejemplo contextual a discutirse es el del Entierro 2/7, descubierto en la Estructura L6-1 por Lucía Morán al sur del Palacio e investigado entre 1999 y 2002 (Figura 3; Morán 2003). La tumba consistió de cuatro figurillas que rodean el entierro de un niño y una ofrenda de dos cuencos redondos. Del perfil de la unidad se recuperó la cabeza de una quinta figurilla, aunque las excavaciones posteriores no encontraron evidencia del resto del cuerpo. La imaginaria presentada es puramente masculina.

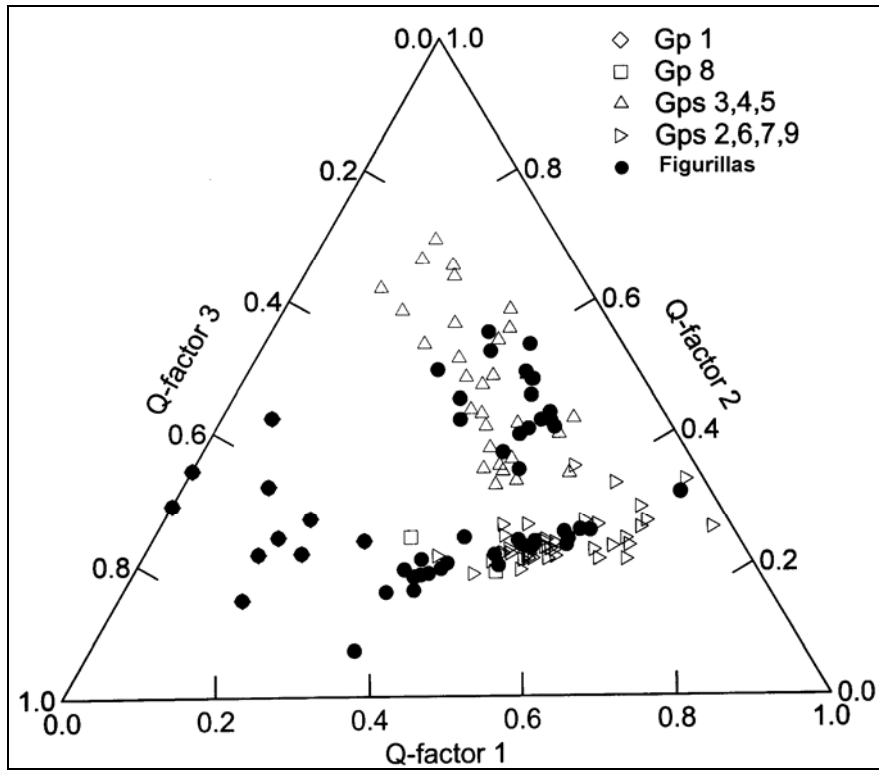


Figura 1 Diagrama factorial ternario en modo-Q

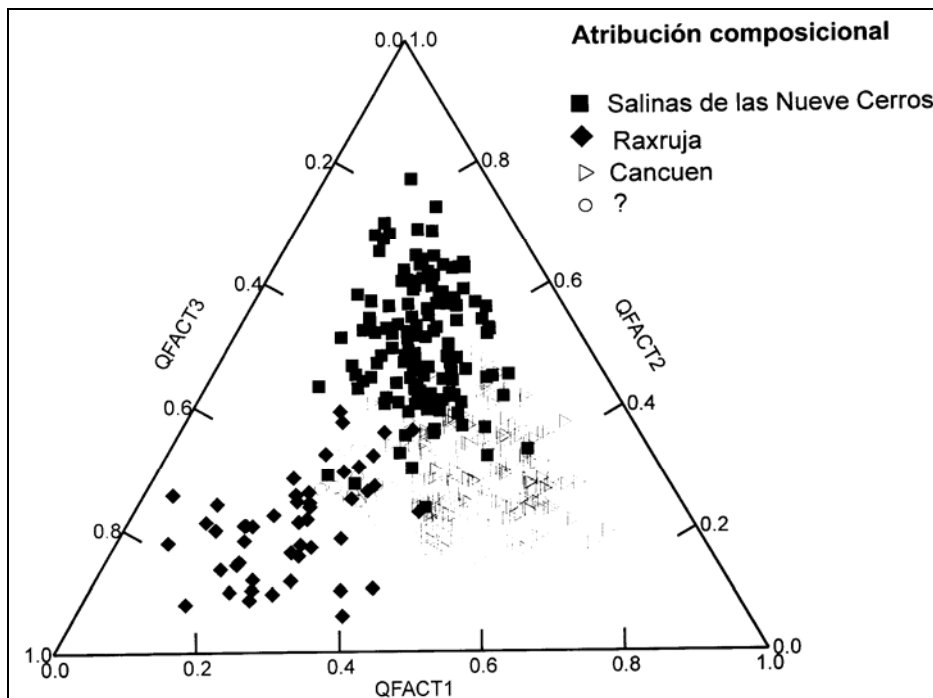


Figura 2 Diagrama factorial ternario en modo-Q

Se encontró un guerrero con una máscara removible en forma de jaguar (CANF466), un guerrero con un escudo rectangular (CANF465), un shaman/guerrero con un tocado removible (CANF464), un jugador de pelota con un tocado de ave (CANF468), y un jugador de pelota con un tocado de venado (CANF467). Desde el punto de vista decorativo, algunos atributos de las figurillas pudieron relacionarse con las figurillas que provienen de la región a lo largo de la orilla de los ríos Pasión y Usumacinta. Por ejemplo, en Jonuta y Jaina existen figurillas que representan a jugadores de pelota (Corson 1976), y existe otro ejemplar de figurilla de guerrero con máscara de jaguar en el Museo Nacional de Antropología de México (Gallenkamp y Johnson 1985:177). La imaginería decorativa puede entonces sugerir una influencia norteña en la representación de las figurillas de Cancuen. Sin embargo, desde una perspectiva analítica, estas piezas cuentan una historia diferente. Por ejemplo, las tres figurillas que tienen pasta de color naranja rojiza forman parte del Grupo 18 que preliminarmente ha sido asignado a la región de Raxruha Viejo. La figurilla que representa al jugador de pelota con tocado de ave (CANF 4 68), cae en el grupo general de Cancuen.

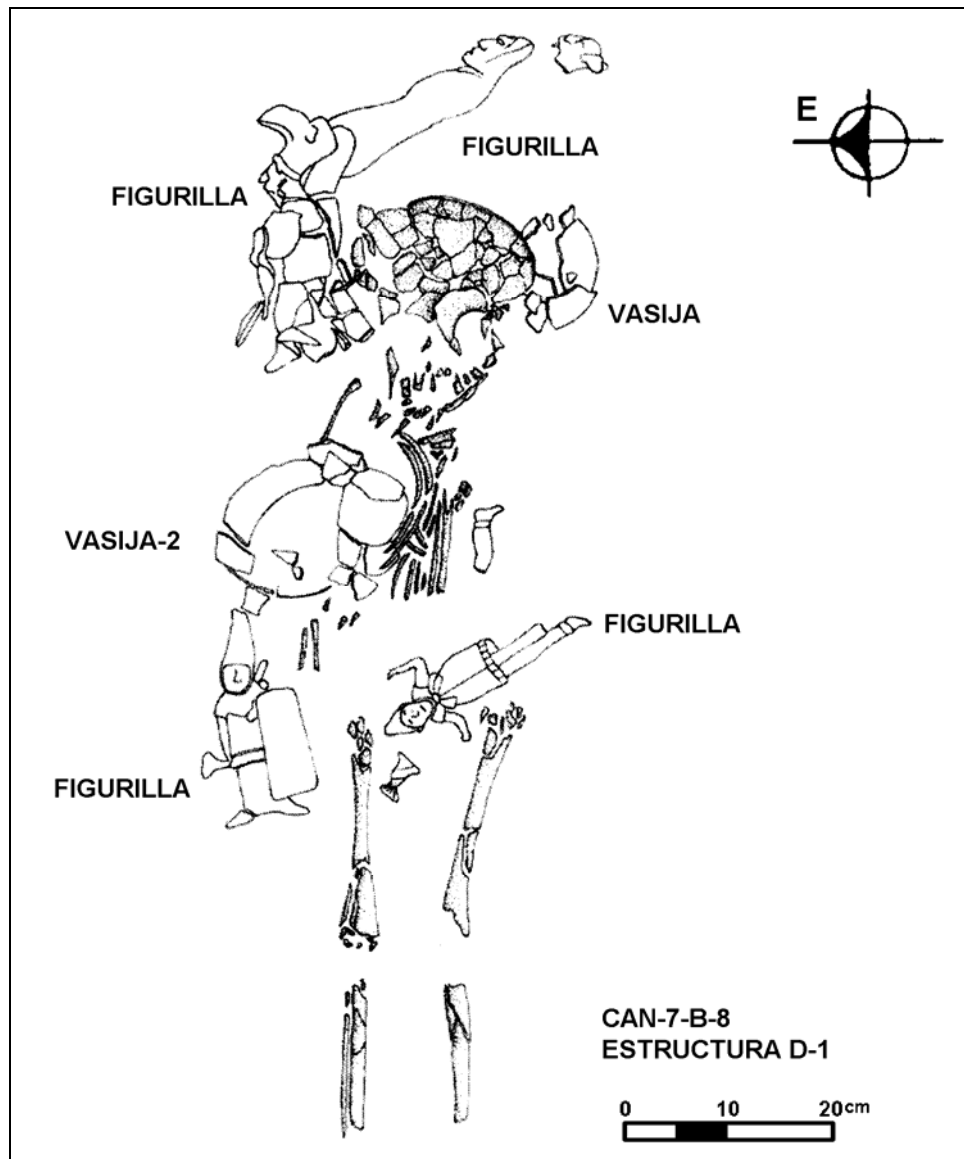


Figura 3 Entierro 2/7 (dibujo de L. Luin)

Gutiérrez, citada por Dorie Reents-Budet (1994), describe el papel de los jugadores de pelota, a partir de la imaginaria representada en la cerámica pintada policromada Maya. Gutiérrez indica que los diferentes tocados de los jugadores jugaban un papel importante en este ritual como representaciones idealizadas de la vida y la muerte (Gutiérrez 1990). El guerrero con tocado de ave se convierte en el vencedor al final del Juego de Pelota, completando el ciclo de vida al abrir el portal del inframundo. Por otro lado, el guerrero con tocado de venado se convierte en el perdedor del juego y por esta razón ofrece su vida al final del juego. Con la información contextual del Entierro 2/7, es interesante poder determinar ciertos paralelos con las interpretaciones pictóricas de Gutiérrez. El jugador de pelota con tocado de ave está más cerca del entierro que la figurilla con tocado de venado. Circulando el entierro del niño, se encuentran las otras figurillas de guerreros masculinos que están en un posible acto de transformación. El guerrero se transforma en su alma-animal al colocarse la máscara del jaguar en su cabeza, y el guerrero/shaman también está en transición, tal como se observa por la cola de jaguar que le sale de su atuendo. Uno puede imaginar la exhibición final del proceso del entierro cuando la puerta al inframundo se abre correctamente y la figurilla del jugador de pelota con tocado de venado es sacrificada y lanzado dentro del foso del entierro.

Los arreglos espaciales de las figurillas en el entierro, en conjunto con la información analítica, pueden también sugerir que las piezas tienen una importancia de ritual distante. Demarest sugiere que el sistema de cuevas de La Caoba pudo haber sido un sitio ceremonial para Cancuen (Demarest y Barrientos 2002:5); sin embargo, se sabe ahora que por las muestras químicas, las figurillas de pasta color naranja rojizo son originarias del área de Raxruha. Esto sugiere una conexión o una ruta de peregrinaje diferente hacia una región diferente de cuevas, o más seguro, que el intercambio de figurillas se hizo desde un área que controlaba el acceso al sistema de cuevas de La Candelaria. Sin embargo, la proximidad a la cabeza del niño del jugador de pelota con tocado de ave hecho en Cancuen, pudo servir como un enlace representativo con las autoridades locales de Cancuen. Tanto los marcadores de Juego Pelota como el Panel 2 presentan al líder de Cancuen *Taj Chan Ahk* con el atuendo de un jugador de pelota con tocado de ave (Fahsen *et al.* 2003); y esta señal estilística de la élite pudo tener conexiones con la figurilla de tocado similar que fue encontrada en el entierro.

El descubrimiento realizado por Arik Ohnstad fue el primer caso de figurillas usadas en un ritual doméstico en Cancuen (Ohnstad 2003). Mientras se definían las áreas habitacionales de la Estructura L9-8, se descubrió un grupo circular de piedras, en cuyo centro se descubrió la parte inferior de una figurilla de ave. Sólo el cuerpo fue recobrado y la cabeza nunca se encontró en esa excavación o en otras áreas de la estructura. El papel que jugó la figurilla posiblemente fue el de un sacrificio como parte de los antiguos rituales realizados en esta área circular. De una perspectiva analítica, este pájaro es originario de Salinas de los Nueve Cerros. Dado que el complejo residencial L9-8 fue ocupado en una época tardía dentro de la cronología de Cancuen, y por el aumento de guerras y desorden político en ese periodo (780-830 DC), es posible que habitantes de otras regiones hayan llegado a Cancuen. ¿Será que los habitantes de la zona habrán dado una fiesta de bienvenida a los nuevos pobladores que llegaron al área residencial noroeste y que ellos sacrificaron la figurilla moldeada de ave que trajeron cuando emigraron a Cancuen? o ¿es que simplemente fue muy costoso sacrificar un ave viva para la ocasión?

A una escala residencial, se conoce que las Estructuras MIO-7, M10-4 y MIO-3 al noreste del palacio de Cancuen habían establecido conexiones de intercambio, según lo indican los análisis de las piezas de jade encontradas en los patios residenciales y basureros. Por su caracterización química, estas piezas de jade se han definido como originarias de la región del Motagua (Kovacevich *et al.* 2003b). Cerámica Gris Fino de la región de Palenque también ha sido encontrada en la Estructura M10-7 (Kovacevich *et al.* 2003a). Para ser objetos domésticos, el contexto sugiere un contacto con otras regiones distantes al norte y del sur. Sin embargo, las muestras de figurillas que fueron tomadas en estas estructuras sugieren otra interpretación. De los 14 artefactos muestreados para análisis de composición química, ocho son originarios de Cancuen, uno fue hecho en la región de Raxruha, cuatro no presentan una categoría determinada y uno es de Salinas de los Nueve Cerros. De estas unidades residenciales particulares es posible afirmar que los patrones químicos de las figurillas reflejan interacciones dentro de un nivel intraregional de comercio e intercambio.

CONCLUSIONES

Por ahora, ha sido sumamente interesante observar las diferentes fuentes de información que se han obtenido de la colección de figurillas de Cancuen. En contraste con otros análisis de materiales descubiertos en Cancuen (por ejemplo, la cerámica Gris Fino que es originaria de la región de Palenque y el jade proveniente de la región del Motagua; Sears y Bishop 2001; Kovacevich 2003b). Por el momento, las figurillas representan un pequeño panorama de composición de intercambio regional. Trabajos futuros tratarán de incorporar una prueba de los modelos cronológicos de la colección de cerámica de Cancuen en comparación con la colección de figurillas. El trabajo continuará en la colección de Petexbatun, para así poder comparar las diferencias de las figurillas de los sitios a lo largo del río Pasión.

REFERENCIAS

- Bishop, Ronald L. y M. James Blackman
1976 *Maya Anthropomorphic Figurines from Jaina Island, Campeche*. Ballena Press, California.
- 2002 Instrumental Neutron Activation Analysis of Archaeological Ceramics: Scale and Interpretation. *En Accounts of Chemical Research* 35 (8):603-610.
- Corson, Christopher
1976 *Maya Anthropological Figurines from Jaina Island, Campeche*. Ballena Press Studies in Mesoamerican Art, Archaeology and Ethnohistory, No.1, Ballena Press, Ramona, California.
- Demarest, Arthur y Tomás Barrientos
2002 Proyecto Arqueológico Cancuen, Temporada 2001: Antecedentes y Resumen de Actividades. En *Proyecto Arqueológico Cancuen Informe Temporada 2001* (editado por Arthur Demarest y Tomás Barrientos), pp.1-8. Vanderbilt University, Nashville.
- Dillon, Brian D.
1977 *Salinas de los Nueve Cerros Guatemala: Preliminary Archaeological Investigations*. Ballena Press, New Mexico.
- Fahsen, Federico, Arthur Demarest y Luis Luin
2002 Sesenta años de historia en la escalinata jeroglífica de Cancuen. En *Proyecto Arqueológico Cancuen, Informe Temporada 2002* (editado por Arthur Demarest y Tomás Barrientos), pp.27-42. Vanderbilt University, Nashville.
- Gallenkamp, Charles y Regina Elise Johnson (ed)
1985 *Maya: Treasures of an Ancient Civilization*. Albuquerque Museum, Harry N. Abrams, New York.
- Gutiérrez, Mary E.
1990 Maya Ballgame as a Metaphor for Warfare. *Mexicon* 12 (6):105-108. Berlin.
- Jóreskog, K.G., John Klován y Richard Reynient
1976 *Geological Factor Analysis*. Elsevier, Amsterdam.
- Kovacevich, Brigitte y Karen Pereira
2003a Operación 24: Excavaciones en los Grupos M9 y M10. En *Proyecto Arqueológico Cancuen, Informe Temporada 2002* (editado por Arthur Demarest y Tomás Barrientos), pp.189-212. Vanderbilt University, Nashville.

Kovacevich, Brigitte, Ronald Bishop, Hector Neff y Karen Pereira

2003b Sistemas económicos y de producción Maya: Nuevos datos y retos en Cancuen. En *XVI Simposio de Investigaciones Arqueológicas en Guatemala, 2002* (editado por Juan Pedro Laporte, Bárbara Arroyo, Héctor L. Escobedo y Héctor E. Mejía), pp.143-158. Museo Nacional de Arqueología y Etnología, Guatemala.

Morán, Lucía

2003 *Evidencia de actividad ceremonial en el Grupo L6 de Cancuen, Petén*. Tesis de Licenciatura, Departamento de Arqueología, Universidad del Valle de Guatemala.

Ohnstad, Arik, Molly Morgan, Jenny Guerra y Carrie Anne Berryman

2003 Operaciones en L9. En *Proyecto Arqueológico Cancuen, Informe Temporada 2002* (editado por Arthur Demarest y Tomás Barrientos), pp.301-334. Vanderbilt University, Nashville.

Reents-Budet, Dorie

1994 *Painting the Maya Universe: Royal Ceramics of the Classic Period*. Duke University Press, Durham.

Sears, Erin L.

2001 Análisis preliminar de las figurillas de Cancuen. En *Proyecto Arqueológico Cancuen, Informe Temporada 2000* (editado por Arthur Demarest y Tomás Barrientos), pp.233-274. Vanderbilt University, Nashville.

Sears, Erin L. y Ronald L. Bishop

2002 Variabilidad en la composición de las pastas en el área de Cancuen, Guatemala: Figurillas y pastas finas. En *XV Simposio de Investigaciones Arqueológicas en Guatemala, 2001* (editado por Juan Pedro Laporte, Héctor Escobedo y Bárbara Arroyo), pp.569-580. Museo Nacional de Arqueología y Etnología, Guatemala.

MATRIZ COMPOSICIONAL DE LOS FACTORES Q-MODE			
	Qfact-1	Qfact-2	Qfact-3
Sc	.724	-.130	2.405
Cr	-.422	-.131	1.580
Fe	-.024	.142	2.080
Sb	.646	1.185	-.142
Ba	-.664	3.174	.102
La	.788	.456	-.244
Ce	.543	.269	-.145
Sm	1.060	.212	-.185
Eu	1.004	.149	-.030
Yb	1.632	.051	-.195
Lu	2.162	-.120	-.214
Hf	1.001	.469	.396
Th	.223	.940	.062
Varianza	35.7	34.3	22.8

Cuadro 1 Matriz de la composición final de los factores de modo-Q